

ارزیابی ساختاری و مکانیکی داربست گرادیانی پلی کاپرولاکتون به منظور کاربرد در مهندسی بافت استخوان

ماهدخت اکبری طائمه، بابک اکبری* و ژامک نورمحمدی

دانشکده علوم و فنون نوین، دانشگاه تهران

(دریافت مقاله: ۱۳۹۶/۰۳/۲۸ - دریافت نسخه نهایی: ۱۳۹۷/۰۳/۲۹)

چکیده- در داربست‌های گرادیانی درصد، اندازه تخلخل و یا ترکیب شیمیایی مواد موجود در داربست به صورت گرادیانی در آن تغییر می‌کنند. اخیراً از روش‌های مختلفی جهت ایجاد گرادیان در داربست استفاده شده است. اما این روش‌ها محدودیت‌هایی از جمله گران بودن فرایند ساخت، درسترس نبودن تجهیزات، پیچیدگی کترل شرایط ایجاد گرادیان، پیچیدگی کترول شکل، اندازه، درصد و راه درهم بودن تخلخل‌ها را دارا هستند. هدف از انجام این تحقیق ابداع روشی جدید، کارامد، ساده و با صرف کمترین هزینه به منظور ایجاد گرادیان در تخلخل داربست بوده است. دو داربست همگن (نوع ۱ و نوع ۲) و دو داربست گرادیانی (نوع ۱ و نوع ۲) ساخته و با هم مقایسه شدند. گرادیان در راستای شعاع داربست، با ادغام دو روش لایبدلایه و روش شستشوی ذرات تخلخل‌ساز ایجاد شد. از پلیمر پلی کاپرولاکتون به عنوان ماده اصلی و از میکروذرات پارافین در دو بازه اندازه ذرات ۲۵۰ تا ۴۲۰ میکرومتر و ۴۲۰ تا ۶۰۰ میکرومتر به عنوان تخلخل‌ساز استفاده شد. درصد تخلخل داربست همگن نوع یک، همگن نوع دو، گرادیان نوع یک و گرادیان نوع دو، به ترتیب $1/25 \pm 0.5$, $61/3 \pm 3/5$, $57/5 \pm 4$ و $74/8 \pm 4$ درصد به دست آمد؛ گفتنی است که درصد تخلخل موردنیاز برای رشد و زندگانی سلول بالای ۷۰ درصد است. که درصد تخلخل داربست‌های گرادیانی جهت استفاده در مهندسی بافت استخوان مناسب است. همچنین میانگین اندازه تخلخل برای دو نوع داربست همگن یک و دو به ترتیب $278/48 \pm 11/23$ و $417/79 \pm 14/62$ میکرومتر به دست آمد که این اعداد نیز برای مهندسی بافت استخوان مطلوب هستند. استحکام فشاری در 80 درصد کرنش و 19 مدلول فشاری داربست‌ها با ترتیب ذکر شده در بالا $0/16 \pm 0/11$ و $0/25 \pm 0/17$ و $0/20 \pm 0/12$ و $0/51 \pm 0/17$ مگاپاسکال، $0/26 \pm 0/34$ و $0/43 \pm 0/33$ مگاپاسکال و $0/28 \pm 0/22$ و $0/25 \pm 0/20$ مگاپاسکال اندازه‌گیری شد. پایین بودن ارقام استحکام نشان می‌دهد که استفاده از پلی کاپرولاکتون به تنهایی مناسب نبوده است. همچنین مقایسه این نتایج نشان می‌دهد که گرادیانی کردن تخلخل‌ها تأثیر چندانی بر خواص مکانیکی داربست‌ها نداشته است. گرادیان در تخلخل، پیوستگی کامل میان دو لایه داربست و عدم وجود فصل مشترک بین آنها در تصاویر گرفته شده توسط میکروسکوپ الکترونی رویشی نشان داد که روش استفاده شده در ساخت داربست گرادیانی مناسب بوده است.

واژه‌های کلیدی: پلی کاپرولاکتون، داربست گرادیانی، اندازه تخلخل، روش لایبدلایه، شستشوی ذرات تخلخل‌ساز.

Structural and Mechanical Evaluation of Polycaprolactone Scaffold with the Gradient Porous Microstructure for Bone Tissue Engineering

M. Akbari Taemeh, B. Akbari* and J. Nourmohammadi

Faculty of New Science and Technology, University of Tehran, Tehran, Iran.

Abstract: In gradient scaffolds, changes in porosity, pore size or chemical composition occur gradually. Recently, different

*: مسئول مکاتبات، پست الکترونیکی: babakbari@ut.ac.ir

methods have been applied to create gradient in the scaffolds, but they have some disadvantages such as high cost and control. The main purpose of this research was to fabricate porous gradient scaffolds by a novel, functional, simple, and low-cost method. Two homogenous scaffolds (Homog 1 and Homog 2) and two gradient scaffolds (Grad 1 and Grad 2) were fabricated and compared. Polycaprolactone scaffolds with the pore size gradient along the radial direction were fabricated by combining layer-by-layer assembly and porogen leaching techniques. Paraffin micro particles were used as porogen in two size ranges: 250 to 420 μm and 420 to 600 μm . The average pore size of Homog 1 and Homog 2 was $278.48 \pm 11.23 \mu\text{m}$ and $417.79 \pm 14.62 \mu\text{m}$, which were suitable for bone tissue engineering. The porosity of the samples was: Homog 1: $77.5 \pm 1.25 \%$, Homog 2: $61.3 \pm 3.5 \%$, Grad 1: $74 \pm 0.5 \%$ and Grad 2: $79.8 \pm 4 \%$. It should be stated that the required porosity for cell survival and growth was above 70 %. Compressive strength at 80% strain and compressive modulus for Homog 1, Homog 2, Grad 1 and Grad 2 were $0.16 \pm 0.16 \text{ MPa}$ and $0.25 \pm 0.11 \text{ MPa}$, $0.26 \pm 0.20 \text{ MPa}$ and $0.53 \pm 0.34 \text{ MPa}$, $0.19 \pm 0.34 \text{ MPa}$ and $0.33 \pm 0.43 \text{ MPa}$, $0.12 \pm 0.28 \text{ MPa}$ and $0.16 \pm 0.51 \text{ MPa}$, respectively. The results showed that pore size gradient had a negligible effect on the mechanical properties of the scaffolds and using polycaprolactone (PCL) as the only material of scaffold was not appropriate. The structure of gradient scaffolds showed the radial pore size gradient with a good adhesion between layers without any detectable interface; the result of the compression test also confirmed it.

Keywords: Polycaprolactone (PCL), Gradient scaffold, Pore size, Layer-by-layer assembly, Porogen leaching.

تخلخل و یا ترکیب شیمیایی مواد موجود در داربست به صورت گرادیانی در فضای سه بعدی آن تغییر می کنند [۵]. داربست های گرادیانی استوانه ای شکل، که در سطح خارجی میکرو متخلخل و در نواحی داخلی آن ماکرو متخلخل هستند؛ ساختاری مشابه با استخوان طبیعی بدن که از درون اسفنجی و سطح آن متراکم تر است را تداعی می کنند. بدین ترتیب با ایجاد گرادیان در تخلخل داربست ها، می توان تفاوت های موضعی و ساختاری موجود در ماتریس خارج سلولی بافت هایی چون غضروف مفصل و استخوان بدن انسان را بهتر شبیه سازی کرد؛ در واقع با شبیه سازی تفاوت های موجود در مورفولوژی، می توان خواص ساختاری و مکانیکی بافت استخوان و توانایی باز سازی آن را کنترل کرد. این نوع از داربست ها، از یک سو اجازه رگزایی و تشکیل مستقیم استخوان و از سوی دیگر شکل گیری استخوان از بافت نرم شبه استخوان را فراهم می آورند [۶]. به علاوه می توان قرار گیری سلول ها در فضای سه بعدی داربست را کنترل، بازده کش سلولی را افزایش [۷] و یا از این نوع داربست ها به عنوان ابزاری برای مطالعه تأثیر اندازه تخلخل بر عملکرد بیولوژیک داربست استفاده کرد [۸].

روش چرخشی^۲، تفت جوشی لیزر انتخابی^۳، الکترو ریسی^۴، استفاده از ذرات تخلخل ساز^۵ و نشاندن لایه به لایه^۶، سانتریفیوژ و نمونه سازی سریع^۷ توسط دستگاه رسم سه بعدی^۸ از روش هایی هستند که در سال های اخیر برای ایجاد گرادیان در تخلخل داربست استفاده شده اند [۷-۱۳]. در سال ۲۰۱۰ میلادی گروهی

۱- مقدمه

مهندسی بافت با عنوان دانش طراحی و ساخت بافت جدید برای بازیابی عملکرد ارگان های میوب یا بافت های از دست رفته، از اوایل دهه ۹۰ میلادی پدیدار شد [۱]. برای ساخت یک بافت به شیوه مهندسی، طراحی ساختاری متخلخل، به عنوان بستری برای مهاجرت، چسبندگی، تکثیر و تمایز سلولی ضروری است. مواد پلیمری، به طور وسیع در ساخت چنین داربست هایی به کار گرفته شده اند، چون بیوشیمی سلول های کشت شده را در بافت در حال رشد، تأمین و پشتیبانی می کنند [۲]. پلی کاپرولاتکون^۱ پلیمری زیست تخریب پذیر با سرعت تخریب پایین است. نقطه ذوب این پلیمر حدود ۶۰ درجه سانتی گراد، نیمه بلوری و آبرگیز است. زیست سازگاری، فرایند پذیری ساده، عدم سمت محصولات حاصل از تخریب و خواص مکانیکی به نسبت مطلوب این پلیمر را برای استفاده در مهندسی بافت استخوان مناسب کرده است [۳]. با وجود اهمیت زیادی که زیست سازگاری داربست در مهندسی بافت دارد؛ اما از تأثیر مورفولوژی آن در تسهیل عملکردهایی چون مهاجرت و تکثیر سلولی، جذب مواد غذایی، دفع مواد زائد و رگزایی نمی توان چشم پوشی کرد؛ در واقع یکی از جنبه های مهم در طراحی ساختار و مورفولوژی داربست، ساختار و اندازه تخلخل ها است. لذا، در نظر گرفتن فاکتور هایی چون اندازه و درصد تخلخل، شکل هندسی و راه در هم بودن تخلخل ها در طراحی داربست اهمیت زیادی دارد [۴] در داربست های گرادیانی، برخلاف داربست های همگن، پارامتر هایی چون اندازه، درصد

از شرکت سیگما^۹ و استیک اسید، پلیوینیل الکل، انھگزان و اتانول از شرکت مرک^{۱۰} تهیه شدند.

۲-۲- فرایند ساخت داربست

(۱) تهیه محلول ۱۰ درصد وزنی پلیکاپرولاكتون- استیک اسید با استفاده از همزن حرارتی در دمایی در حدود ۴۰ درجه سانتی گراد انحلال صورت گرفت.

(۲) ساخت میکروذرات پارافین

الف) محلول ۰/۱ درصد وزنی به حجمی پلیوینیل الکل- آب دیونیزه روی همزن حرارتی با اعمال دما تهیه شد.

ب) محلول ۱/۵ درصد وزنی به حجمی پلیوینیل الکل- آب دیونیزه با اعمال دما تهیه شد.

ج) ۱۰ گرم پارافین ذوب شده در ظرف حاوی ۱۲/۵ میلی لیتر محلول ۱/۵ درصد وزنی به حجمی پلیوینیل الکل- آب دیونیزه که دمایی حدود ۶۵ درجه سانتی گراد داشت، ریخته و به مدت ۱۰ دقیقه روی همزن حرارتی هم زده شد.

د) پس از گذشت این زمان، محتویات ظرف به داخل ظرف حاوی ۵۰۰ میلی لیتر محلول ۰/۱ درصد وزنی به حجمی پلیوینیل الکل- آب دیونیزه با دمای ۱۷ درجه سانتی گراد که با سرعت بالایی روی همزن حرارتی هم زده می شد، ریخته شد. ه) با غربال گری این ذرات توسط الک با مشبندی های ۳۰ و ۴۰ و ۶۰ میکروذرات در دو بازه اندازه ذرات ۲۵۰ تا ۴۲۰ و ۴۲۰ تا ۶۰۰ میکرومتر تقسیم بندی شدند.

۳ در این مرحله میکروذرات پارافین در بازه اندازه ذرات مورد نظر و به اندازه ۱۰ برابر جرم پلیمر به داخل سرنگ پنج میلی لیتر از جنس پلیوینیل کلراید^{۱۱} که سر آن بریده شده بود؛ ریخته شد.

۴ محلول پلیمری روی ذرات تخلخل ساز ریخته و میکروذرات پارافین در محلول پلیمری به صورت یکنواخت پراکنده شدند.

۵ پس از قرار گیری و انجام دنمونه در فریزر ۲۰- درجه سانتی گراد، به مدت ۷۲ ساعت در دستگاه خشک کن انجام داده قرار گرفت.

با هدف افزایش بازدهی کشت سلولی و کترل جای گیری سلولها در فضای سه بعدی داربست، اقدام به ایجاد تخلخل گردیانی با روش چاپ سه بعدی کردند. از محدودیت های این روش گران بودن، عدم دسترسی و محدودیت در ساخت تعداد زیاد داربست با ابعاد بالا، به علت سرعت کم فرایند است [۷]. در سال ۲۰۰۷ میلادی با روش سانتریفیوژ محلول حاوی پلیکاپرولاكتون و به دنبال آن فرایند خشک کردن انجام داد، گردیان در تخلخل داربست ایجاد شد. اما کترول شرایط فرایند سانتریفیوژ برای ساخت داربست گردیانی با بازه اندازه تخلخل مشخص و مطلوب دشوار است [۸]. با انتخاب نمک به عنوان تخلخل ساز و ادغام دو روش شستشوی ذرات تخلخل ساز و نشاندن لایه به لایه می توان در داربست، تخلخل گردیانی ایجاد کرد. از محدودیت های این روش توزیع غیر یکنواخت تخلخل ساز در محلول پلیمری، احتمال کلوخه شدن ذرات نمک و محدودیت در راه درهم کردن تخلخل ها است [۱۲]. با توجه به اهمیت زیاد گردیانی کردن داربست ها و با توجه به محدودیت های روش های مختلف، به کارگیری روشی نوین، ساده، بدون نیاز به تجهیزات پیشرفته و کم هزینه امری ضروری است. از این روش ایده ایجاد گردیان شعاعی در داربست ها به صورت لایه به لایه و با استفاده از سرنگ (به عنوان قالب) و ذرات پارافین به عنوان تخلخل ساز برای نخستین بار اجرا شده و نتایج نشان داد که این روش می تواند پیچیدگی و هزینه ایجاد تخلخل گردیانی را تا حد مطلوبی کاهش دهد. از نوآوری های این تحقیق می توان به نوع قالب مورد استفاده و ایجاد گردیان شعاعی با استفاده از روش لایه به لایه اشاره کرد. در هیچ یک از مطالعات پیشین از سرنگ به عنوان قالب سازنده داربست استفاده نشده است. همچنین تا پیش از این تحقیق، با روش لایه به لایه گردیان شعاعی در داربست ایجاد نشده است.

۲- مواد و روش تحقیق

۲-۱- مواد مورد نیاز جهت ساخت داربست

پلیکاپرولاكتون با وزن مولکولی ۸۰۰۰۰ دالتون و پارافین جامد

ساختار داربست، تخلخل‌ها، میزان راه درهم بودن آنها، مشاهده گرadiان در تخلخل داربست‌ها و پیوستگی بین لایه‌های داربست گردیده و همچنین بررسی میزان چسبندگی سلول‌ها بوده است. نمونه‌ها بعد از آماده‌سازی، توسط طلا تحت خلا پوشش دهی شدند و در بزرگنمایی‌های مختلف توسط میکروسکوپ الکترونی رویشی (ای آی اس ۲۱۰۰^{۱۳}) ساخت کارخانه سرون تکنولوژی^{۱۴} مورد بررسی قرار گرفتند. با بررسی تصاویر میکروسکوپ الکترونی و به علت کوچک‌تر بودن اندازه تخلخل‌ها نسبت به اندازه ذرات تخلخل‌ساز استفاده شده، با اندازه‌گیری سطح مقطع نمونه قبل و بعد از شستشوی میکروذرات پارافین میزان انقباض آنها اندازه‌گیری شد. که در آن A_1 مساحت سطح مقطع نمونه پس از شستشو و خشک شدن و A_2 مساحت سطح مقطع نمونه قبل از شستشوی میکروذرات پارافین است.

۵- بررسی تخلخل‌ها

اندازه و درصد تخلخل، پارامترهای بسیار مهمی در تعیین خواص مکانیکی و زیست‌سازگاری داربست‌ها هستند. برای محاسبه اندازه تخلخل‌های داربست، از تصاویر گرفته شده توسط میکروسکوپ الکترونی رویشی استفاده شد. بدین منظور، برای هر نمونه سه عکس میکروسکوپ الکترونی رویشی گرفته شد. اندازه حفرات با استفاده از نرم‌افزار ایمیج جی^{۱۵} شد. اندازه گیری شد و میانگین اندازه حفرات محاسبه شد. به منظور اندازه‌گیری شد و میانگین اندازه حفرات در داربست‌ها از روش جابه‌جاگی مایع^{۱۶} استفاده شد [۱۴]. در این تحقیق از ان‌هگزان به عنوان ماده‌ای جهت نفوذ به داخل تخلخل‌ها استفاده شد. در حجم مشخصی از ان‌هگزان (V_1) داربست انداخته شد؛ حجم ان‌هگزان وقتی داربست درون آن بود، اندازه گرفته شد (V_2). داربست از ان‌هگزان خارج و مجدداً حجم نهایی ان‌هگزان (V_3) اندازه‌گیری شد [۱۵].

$$V_A = V_1 - V_3 \quad (1) \text{ حجم داربست}$$

$$V_B = V_1 - (V_2 + V_A) \quad (2) \text{ حجم هگزان داخل تخلخل‌ها}$$

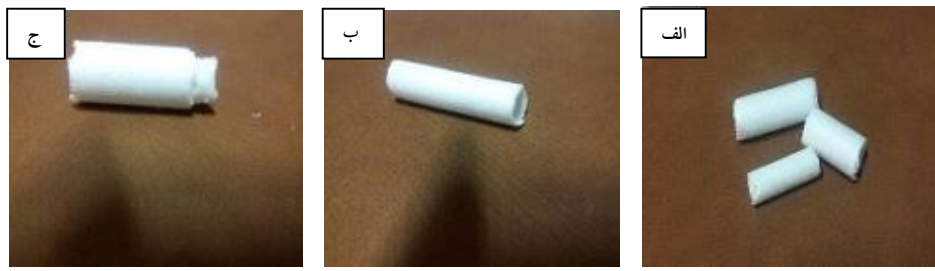
۶) در مرحله بعد شستشوی ذرات پارافین توسط حلal ان‌هگزان صورت گرفت. به این صورت که نمونه به مدت ۴۸ ساعت در ان‌هگزان غوطه‌ور مانده و هر هشت ساعت ان‌هگزان تعویض شد. پس از گذشت ۴۸ ساعت به منظور خروج کامل ان‌هگزان، نمونه با اتانول شسته شده و پس از انجام دادن نیتروژن مایع، مجدداً به مدت ۲۴ ساعت در دستگاه خشک‌کن انجام داده قرار گرفت.

۳- فرایند ساخت داربست گرادیانی

در این تحقیق داربست‌های گرادیانی به صورت دو لایه ساخته شدند. از دو سرنگ با حجم سه و پنج میلی‌لیتر به عنوان قالب استفاده شد. به طوری که لایه اول در قالب با قطر کمتر (به همان صورتی که در پیش ذکر شد) و با بازه اندازه ذرات پارافین مشخص (به عنوان مثال ۴۲۰ تا ۴۲۰ میکرومتر) ساخته شده و بدون آنکه ذرات پارافین در آن شسته شوند، در مرکز قالب بزرگ‌تر قرار گرفت. در این مرحله به منظور ساخت لایه دوم، میکروذرات پارافین با بازه اندازه ذرات ۴۲۰ تا ۶۰۰ میکرومتر و به اندازه حجم محلول پلیمری دور لایه اول (در قالب بزرگ) ریخته شده و پس از اضافه کردن محلول به طور یکنواخت در آن پراکنده شدند. پس از انجام دادن فریزر ۲۰- درجه سانتی‌گراد، به منظور رخ دادن فرایند تصفید و خارج شدن کامل حال نمونه به مدت ۷۲ ساعت در دستگاه خشک‌کن انجام داده قرار گرفت. در مرحله بعد شستشوی ذرات پارافین توسط حلal ان‌هگزان صورت گرفت. به این صورت که نمونه به مدت ۴۸ ساعت در ان‌هگزان غوطه‌ور مانده و هر هشت ساعت ان‌هگزان تعویض شد. پس از گذشت ۴۸ ساعت نمونه با اتانول شسته شده و به منظور خشک شدن کامل و بدون تغییر ساختار پس از انجام دادن نیتروژن مایع، مجدداً به مدت ۲۴ ساعت در دستگاه خشک‌کن انجام داده قرار گرفت. داربست‌های همگن و گرادیانی ساخته شده در شکل (۱) دیده می‌شوند.

۴- مطالعات میکروسکوپ الکترونی رویشی^{۱۷}

هدف از به کارگیری این میکروسکوپ، مشاهده و بررسی



شکل ۱- الف) چند نمونه داربست همگن، ب) لایه داخلی داربست گرادیانی و ج) داربست گرادیانی

تخلخل‌ها در داربست بوده است. در صورت استفاده از نمک به عنوان تخلخل‌ساز، شکل تخلخل‌ها محدود به شکل کریستالی ذرات نمک بوده و امکان راه در هم کردن تخلخل‌ها وجود ندارد [۱۶]. از دیگر محدودیت‌های استفاده از ذرات نمک، توزیع غیریکنواخت ذرات نمک در محلول پلیمری و احتمال کلخه شدن آنهاست [۱۲].

همان‌طور که در تصاویر میکروسکوپی دیده می‌شود، شکل میکروذرات در بازه ۴۲۰ تا ۶۰۰ میکرومتر از حالت کروی خارج و تقریباً بیضی است. با توجه به جریان و حرکت گردابی محلول روی همزن حرارتی، هرچه از محور فرضی حرکت سیال دورتر شویم سرعت جریان کاهش می‌یابد؛ بنابراین با توجه به آنچه بالاتر ذکر شد، در سرعت‌های پایین‌تر ذرات بزرگ‌تر و غیرکروی‌تر تشکیل می‌شوند. قابل ذکر است که با تغییر سرعت هم خوردن و غلظت محلول پلی‌وینیل‌الکل می‌توان شکل و توزیع اندازه ذرات پارافین را کنترل کرد.

در تحقیق صورت گرفته با توجه به شرایط انجام فرایند، ذرات تشکیل شده به طور عمده در بازه اندازه ۱۵۰ تا ۶۰۰ میکرومتر بوده و تعداد ذرات تشکیل شده در بازه ۱۵۰ تا ۴۲۰ تا ۲۵۰ میکرومتر بیشتر از تعداد ذرات در بازه اندازه ۴۲۰ تا ۶۰۰ میکرومتر بود. تصاویر میکروسکوپی گرفته شده از میکروذرات تهیه شده در شکل (۲) میکروکره‌های پارافین را در سه بازه اندازه ذره ۱۵۰ تا ۲۵۰ میکرومتر، ۲۵۰ تا ۴۲۰ میکرومتر و ۶۰۰ تا ۴۲۰ میکرومتر نشان می‌دهند. در این تحقیق از دو بازه اندازه ذرات ۲۵۰ تا ۴۲۰ و ۶۰۰ تا ۴۲۰ میکرومتر در ساخت داربست‌های گرادیانی استفاده شد. با توجه به اینکه

$$\frac{V_B}{V_A + V_B} \times 100 \quad (3) \text{ درصد تخلخل}$$

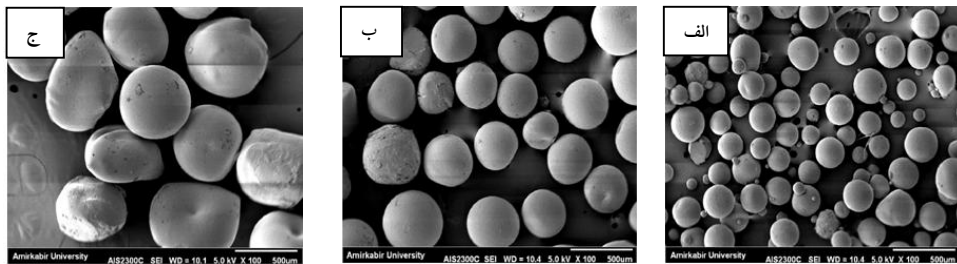
۶-۲- بررسی خواص مکانیکی

از آنجایی که استحکام مکانیکی داربست‌ها برای قرارگیری در استخوان از اهمیت فراوانی برخوردار است، آزمون مکانیکی تمام نمونه‌ها تحت آزمون فشاری انجام شد. برای این آزمون نمونه‌هایی به شکل استوانه‌ای با قطر تقریبی ۱/۱ سانتی‌متر و ارتفاع یک سانتی‌متر آماده شدند. آزمون فشار به صورت تک محوری با استفاده از دستگاه زوئیک روئل $^{18}Z^{\circ 50}$ و بر اساس استاندارد ای اس تی ام $^{18}D575$ با بارگذاری ۲۵ کیلونیوتون انجام شد. نمونه‌ها بین دو فک دستگاه قرار داده شدند و نیرو با سرعت یک میلی‌متر بر دقیقه و تا اندازه کرنش ۸۰ درصد اعمال شد. مدول الاستیک داربست‌ها از ناحیه خطی و الاستیک منحنی‌های تنش-کرنش و استحکام فشاری داربست‌ها در ۸۰ درصد کرنش اندازه‌گیری شد.

۳- نتایج و بحث

۳-۱- بررسی میکروسکوپی میکروذرات پارافین

در سال‌های اخیر از روش لایه‌به‌لایه و شستشوی ذرات تخلخل‌ساز جهت ایجاد گرادیان در تخلخل استفاده شده است و تخلخل‌سازهای استفاده شده در این تحقیق‌ها ذرات نمک و ذرات یخ در اندازه‌های مختلف بوده است [۱۲ و ۱۳]. از دلایل استفاده از میکروذرات پارافین به عنوان تخلخل‌ساز، امکان دستیابی به تخلخل‌های کروی و امکان کنترل بهم پیوستگی



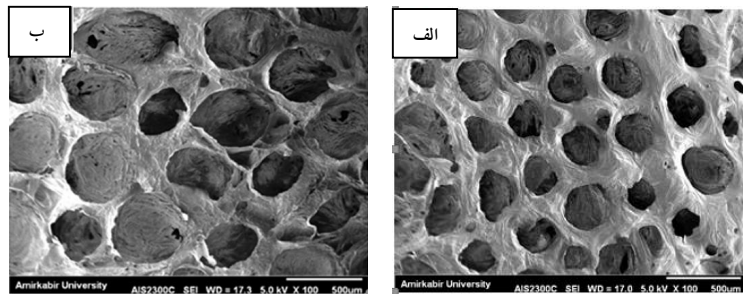
شکل ۲- تصاویر میکروسکوپی الکترونی رو بشی از میکروذرات پارافین در بازه اندازه: (الف) ۱۵۰ تا ۲۵۰ میکرومتر، (ب) ۴۰۰ تا ۶۰۰ میکرومتر و (ج) ۴۰۰ تا ۴۲۰ میکرومتر

نداشته است، همچنین راه در هم کردن تخلخل‌ها به سختی قابل کنترل بوده است [۱۲-۱۷]. این در حالی است که با استفاده از ذرات پارافین و دما دادن به آنها تا حدود ۳۰ تا ۳۲ درجه سانتی‌گراد و درنتیجه چسبیدگی جزئی ذرات کروی تخلخل‌ساز به هم، امکان راه درهم تخلخل‌ها وجود دارد [۱۶]. در تحقیقی که در سال ۲۰۱۳ میلادی انجام شده است به‌منظور داشتن تخلخل‌های کروی از میکروذرات یخ به‌عنوان تخلخل‌ساز استفاده شده است، از محدودیت‌های استفاده از ذرات یخ، می‌توان به دشواری کنترل شرایط فرایند جهت ایجاد میکروذرات یخ در بازه اندازه ذرات مشخص اشاره کرد [۱۳]. نتایج حاصل از اندازه‌گیری میزان انقباض پس از خشک شدن نمونه‌ها در دستگاه خشک‌کن انجام‌داده شان داد که سطح مقطع و ارتفاع آنها تا حدی (حدود ۱۰ درصد) کاهش یافته است. انقباض داریست باعث کاهش جزئی اندازه تخلخل‌ها نسبت به اندازه ذرات پارافین استفاده شده به‌عنوان تخلخل‌ساز می‌شود [۲۰]. به‌طور کلی نیروی محرکه انقباض مواد پلیمری، حرکت زنجیره‌های پلیمری در نواحی آمورف است و احتمال انقباض در مواد نرم بالاتر است [۲۱]. تصاویر میکروسکوپی گرفته شده از سطح مقطع داریست‌ها، تخلخل‌های کروی شکل ایجاد شده توسط میکروذرات کروی پارافین و همچنین راه درهم بودن آنها را نشان می‌دهد. از جمله پارامترهای مهم در طراحی داریست، شکل تخلخل‌ها، مورفولوژی دیواره تخلخل‌ها و راه درهم بودن آنهاست؛ این موارد از پارامترهای مؤثر بر کشت، مهاجرت و رشد سلول، بیان ژن و تشکیل بافت جدید در سه بعد هستند [۲۲، ۲۳ و ۲۴]. همان‌طور که در تصاویر میکروسکوپی در شکل‌های (۳) و (۴) مشخص است، در ساختار داریست‌ها به‌ویژه

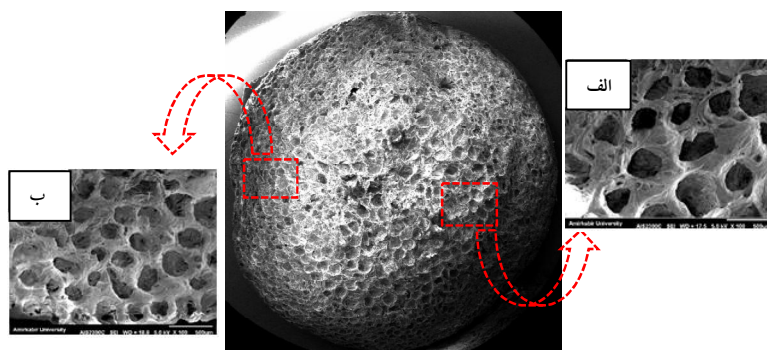
امکان انقباض جزئی داریست‌ها و درنتیجه تخلخل‌ها پس از شستشوی پروژن وجود داشت؛ علت به کارگیری این بازه اندازه ذرات، دستیابی به اندازه تخلخل‌های مناسب برای استفاده در مهندسی بافت استخوان بوده است [۱۷ و ۱۸]. طبق مطالعات انجام شده حداقل اندازه تخلخل مورد نیاز برای مهندسی بافت استخوان ۱۰۰ میکرومتر و حداقل اندازه بهینه برای استخوان‌سازی بهتر ۳۰۰ میکرومتر است [۶].

۲-۳- بررسی میکروسکوپی ساختار داریست

در جدول (۱) انواع داریست‌های همگن و گرادیانی ساخته شده در این تحقیق آورده شده است. میانگین اندازه تخلخل‌ها در داریست همگن نوع یک با بازه اندازه ذرات پارافین ۲۵۰ تا ۴۰۰ میکرومتر، $11/2 \pm 277/5$ میکرومتر و در داریست همگن نوع دو با بازه اندازه ذرات پارافین ۴۰۰ تا ۶۰۰ میکرومتر، $14/6 \pm 417/8$ میکرومتر اندازه‌گیری شده است. اندازه تخلخل‌های ایجاد شده می‌تواند برای استفاده در مهندسی بافت استخوان مناسب باشد. با توجه به تحقیقات انجام شده، حداقل اندازه تخلخل مورد نیاز برای رشد استخوان ۱۰۰ تا ۱۳۵ میکرومتر و مقدار بهینه ۱۰۰ تا ۴۰۰ میکرومتر است [۱۷ و ۱۸]. شکل کاملاً کروی تخلخل‌ها نشان‌دهنده حذف کامل میکروذرات کروی پارافین است. از طرفی آزمون سلولی و آزمون مورفولوژی گرفته شده از این داریست‌ها، عدم سمیت سلولی و چسبیدگی کامل سلول‌ها بر سطح داریست را نشان داد که دلیل دیگری بر حذف کامل مواد تخلخل‌زا است [۱۹]. در اکثر مطالعات انجام شده روی داریست‌های گرادیانی امکان دستیابی به تخلخل‌های کروی وجود



شکل ۳- ساختار میکروسکوپی داربست همگن: (الف) نوع ۱ و (ب) نوع ۲



شکل ۴- تصاویر میکروسکوپی الکترونی رویشی از داربست گرادیانی: (الف) لایه خارجی داربست و (ب) لایه داخلی داربست

میکروذرات پارافین به عنوان تخلخل‌ساز و ساخت داربست به صورت لایه‌لایه و با استفاده از دستگاه حشک‌کن انجمادی، روشی کارآمد و ساده جهت دستیابی به ساختار مطلوب در داربست‌های گرادیانی است.

۳-۳- بررسی درصد تخلخل

همان‌طور که در نمودار شکل (۵) مشخص است، نمونه همگن نوع دو با $\pm 3/5 \pm 61/3$ درصد تخلخل، کمترین درصد تخلخل را در بین چهار نمونه ساخته شده دارد. درصد تخلخل داربست همگن نوع یک، $1/25 \pm 77/5$ درصد، گرادیانی نوع یک، $0/5$ درصد و داربست گرادیانی نوع دو، $4 \pm 79/8$ درصد اندازه‌گیری شده است. بنابر تحقیقات انجام شده درصد تخلخل بالای 70 درصد برای زندمانی و رشد سلول‌ها مورد نیاز است [۲۵]. طبق مطالعات انجام شده درصد تخلخل داربست‌ها با سرعت تخریب نسبتاً بالا نباید از 90 درصد بالاتر باشد [۶]. در داربست همگن نوع یک با بازه اندازه ذرات تخلخل‌ساز

داربست همگن نوع یک تعدادی حفره کوچک دیده می‌شود؛ این حفره‌ها می‌توانند به علت عدم نفوذ کامل و توزیع غیریکنواخت محلول پلیمری بین ذرات تخلخل‌ساز ایجاد شده باشند [۱۶].

گرادیان شعاعی ایجاد شده در تصاویر میکروسکوپی شکل (۴) قابل مشاهده است. همان‌طور که در شکل (۴) مشخص است، در داربست گرادیانی نوع دو تخلخل‌ها در لایه میانی بزرگ‌تر از تخلخل‌های لایه خارجی هستند، این در حالی است که در داربست گرادیانی نوع یک لایه داخلی تخلخل‌هایی کوچک‌تر از لایه خارجی دارد. در این شکل پیوستگی و اتصال کامل بین دو لایه داربست، بدون مشاهده فصل مشترک بین لایه‌ها بهوضوح نمایان است. لازم به ذکر است که وجود فصل مشترک پوسته‌ای شکل بین لایه‌های داربست یکی از محدودیت‌های ایجاد گرادیان به روش نشاندن لایه‌به‌لایه بوده است [۱۲]. در تحقیقی دیگر با به‌کارگیری روش تقطیع‌شی لیزر انتخابی زبری سطح نمونه نهایی استفاده از این روش را جهت ایجاد گرادیان در تخلخل با محدودیت رو به رو می‌کند [۱۱]. بنابراین می‌توان نتیجه گرفت که استفاده از

سانتریفیوژ و بالاتر بودن میانگین اندازه تخلخل‌ها در هر لایه در داربست نسبت به داربست‌های گرادیانی این تحقیق باشد. در سال ۲۰۱۱ میلادی با استفاده از روش نمونه‌سازی سریع دو نوع داربست همگن و دو نوع داربست گرادیانی ساخته شد. نتایج به دست آمده نشان داد که درصد تخلخل داربست‌های گرادیانی (۵۶ و ۶۰ درصد) تقریباً برابر با میانگین درصد تخلخل به دست آمده برای داربست‌های همگن (۳۱ و ۸۰ درصد) بوده است [۷]. همان‌طور که دیده می‌شود درصد تخلخل داربست‌های گرادیانی پایین‌تر از اعداد به دست آمده در تحقیق حال حاضر است، علت این تفاوت را می‌توان با تفاوت در نوع گرادیان ایجاد شده و هندسه داربست‌ها توجیه کرد. در تحقیقی با استفاده از روش شستشوی ذرات پرورزن و نشاندن لایه‌به‌لایه، درصد تخلخل‌های به دست آمده برای لایه‌های مختلف داربست گرادیانی از پایین به بالا، به ترتیب حدود ۶۵، ۷۲، ۷۷ و ۸۵ و ۹۲ درصد به دست آمده است [۱۲].

۴-۳- بررسی خواص مکانیکی

در نمودار تنش-کرنش مدول فشاری داربست‌های ساخته شده از شب ناجیه خطی نمودار به دست آمد. در شکل (۶) نمودار تنش-کرنش فشاری برای هر چهار نمونه داربست همگن و گرادیانی آورده شده است. در جدول (۲) نیز مقادیر اندازه‌گیری شده استحکام فشاری در ۸۰ درصد کرنش و مدول فشاری نمونه‌ها آمده است. با توجه به نمودار و جدول، داربست همگن نوع دو (۴۲۰) بیشترین استحکام و مدول فشاری و داربست گرادیانی نوع دو (D۴۲۰) کمترین استحکام و مدول فشاری را داراست. بررسی تحقیقات انجام شده نشان داده است که خواص مکانیکی داربست به شکل، اندازه و درصد تخلخل در آن وابسته است [۱۶ و ۲۶]. طبق رابطه فانی و نیوگی^{۱۹} با افزایش درصد تخلخل میزان استحکام کاهش می‌یابد [۲۷].

$$E = E_S \left(1 - \frac{p}{p_c}\right)^f \quad (4)$$

در این رابطه E مدول یانگ ماده متخلخل، E_S مدول یانگ ماده جامد، p درصد تخلخل ماده متخلخل و p_c درصد تخلخل ماده

۲۵۰ تا ۴۲۰ میکرومتر، تخلخل $1/25 \pm 77/5$ درصد است؛ در حالی که تخلخل در داربست همگن نوع دو، $61/3 \pm 3/5$ درصد است. علت این تفاوت را می‌توان این‌گونه شرح داد: طبق تحقیق انجام شده در این رابطه، کوچک‌تر بودن اندازه ذرات تخلخل‌ساز می‌تواند باعث توزیع غیریکنواخت‌تر محلول پلیمری در بین میکروذرات شود. در واقع هرچه میکروذرات کوچک‌تر باشند نفوذ محلول پلیمری بین آنها سخت‌تر خواهد بود. این امر می‌تواند باعث ایجاد حفره و حباب و یا باریک شدن دیواره تخلخل‌ها و درنتیجه افزایش درصد تخلخل شود [۱۶].

در داربست‌های گرادیانی نیز نسبت جرم کل تخلخل‌ساز به جرم کل پلیمر استفاده شده در هر دو نوع داربست یکی است. اما درصد تخلخل این دو نوع داربست به هم متفاوت است. با استناد به دلیل گفته شده برای داربست‌های همگن و با توجه به اینکه در این داربست‌ها جرم تخلخل‌ساز و پلیمر در لایه داخلی کمتر از لایه خارجی است؛ می‌توان کمتر بودن درصد تخلخل داربست گرادیانی نوع یک نسبت به داربست گرادیانی نوع دو را توجیه کرد. در داربست گرادیانی نوع یک بازه اندازه ذرات تخلخل‌ساز در لایه داخلی ۴۲۰ تا ۲۵۰ میکرومتر و در لایه خارجی ۴۲۰ تا ۶۰۰ میکرومتر و در داربست گرادیانی نوع دو، بازه اندازه ذرات تخلخل‌ساز در لایه داخلی ۴۰۰ تا ۶۰۰ میکرومتر و لایه خارجی ۴۰۰ تا ۲۵۰ میکرومتر است؛ درنتیجه مقدار ذرات با بازه اندازه پایین‌تر در داربست گرادیانی نوع دو بیشتر از داربست گرادیانی نوع یک بوده و احتمال توزیع غیریکنواخت محلول پلیمری و تشکیل حفره و درنتیجه بیشتر بودن درصد تخلخل در این نوع داربست بیشتر خواهد بود.

درصد تخلخل برش‌های مختلف از داربست‌های گرادیانی ساخته شده با روش سانتریفیوژ، بین ۸۰ تا ۹۴ درصد به دست آمده است؛ قابل ذکر است که با کنترل سرعت سانتریفیوژ امکان تغییر اندازه و درصد تخلخل‌ها وجود دارد [۸]. درصد تخلخل این داربست‌ها در مقایسه با تحقیق حال حاضر بیشتر است علت این امر می‌تواند راه درهم‌تر بودن تخلخل‌ها در روش

جدول ۱- انواع داربست‌های همگن و گرادیانی

نوع داربست	بازه اندازه ذرات تخلخل‌ساز (میکرومتر)
همگن نوع یک	۲۵۰-۴۲۰
همگن نوع دو	۴۲۰-۶۰۰
گرادیانی نوع یک	لایه میانی ۲۵۰-۴۲۰ لایه خارجی ۴۲۰-۶۰۰
گرادیانی نوع دو	لایه میانی ۴۲۰-۶۰۰ لایه خارجی ۲۵۰-۴۲۰

جدول ۲- استحکام و مدول فشاری داربست‌ها

داربست	استحکام فشاری در $80\text{ درصد کرنش (مگاپاسکال)}$	مدول فشاری (مگاپاسکال)
همگن نوع یک	$0/25 \pm 0/11$	$0/16 \pm 0/16$
همگن نوع دو	$0/53 \pm 0/34$	$0/26 \pm 0/2$
گرادیانی نوع یک	$0/33 \pm 0/43$	$0/19 \pm 0/34$
گرادیانی نوع دو	$0/17 \pm 0/51$	$0/12 \pm 0/28$

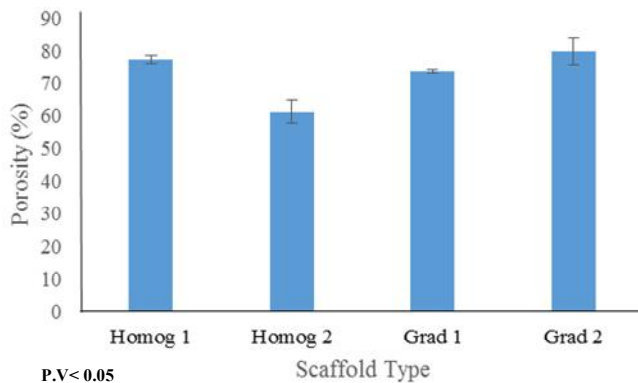
درصد تخلخل بالاتر نسبت به داربست همگن نوع دو، خواص مکانیکی پایین‌تری دارد. از طرفی با وجود بالاتر بودن خواص مکانیکی نمونه همگن نوع دو، درصد تخلخل آن نسبت به سه نمونه دیگر نسبتاً پایین بوده و تا حدودی می‌تواند بر زندگانی و رشد سلول اثر منفی داشته باشد.

نتایج حاصل از بررسی خواص مکانیکی داربست‌های گرادیانی ساخته شده به روش سانتریفیوژ نشان داد که در برخه‌ایی از داربست که میانگین اندازه تخلخل‌ها بالاتر بوده، خواص مکانیکی پایین‌تر بوده است. همچنین با مقایسه داربست عملیات حرارتی شده و داربست ساده دیده شده است که با حرارت دادن داربست‌ها تا نزدیکی نقطه ذوب پلیکاپرولاتون (حدود 59°C درجه سانتی‌گراد) و درنتیجه اتصال جزئی فیبرهای پلیکاپرولاتون خواص مکانیکی تا حد زیادی افزایش یافته است [۸]. البته به علت اینکه در تحقیق حال حاضر خواص مکانیکی داربست‌ها به صورت کلی و نه لایه‌به‌لایه اندازه‌گیری شده است و همچنین گرادیان به صورت شعاعی

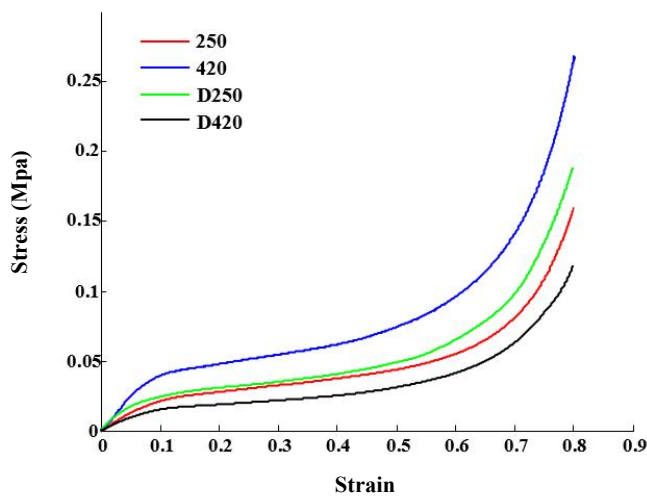
است زمانی که مدول یانگ صفر می‌شود. f نیز پارامتری وابسته به مورفولوژی و هندسه تخلخل‌هاست.

همان‌طور که دیده می‌شود، نمونه همگن شماره دو با کمترین درصد تخلخل بیشترین خواص مکانیکی را از خود نشان داده است و همان‌طور که انتظار می‌رفت، داربست گرادیانی نوع دو با 81 درصد تخلخل پایین‌ترین خواص مکانیکی را دارد. با بررسی و مقایسه نمودار تنش-کرنش همه نمونه‌ها، می‌توان گفت که گرادیانی کردن اندازه تخلخل در داربست‌ها تأثیر چندانی بر خواص مکانیکی داربست نداشته است.

با مقایسه خواص مکانیکی دو نوع داربست گرادیانی دیده می‌شود که داربست گرادیانی نوع یک خواص مکانیکی بهتری از خود نشان داده است. با توجه به درصد تخلخل پایین‌تر این نمونه نسبت به داربست گرادیانی نوع دو همین انتظار می‌رفت. در دو نوع داربست همگن نیز علت تفاوت خصوصیات مکانیکی از جمله استحکام و مدول فشاری، تفاوت درصد تخلخل در این دو نمونه است. داربست همگن نوع یک با



شکل ۵- درصد تخلخل داربست‌ها



شکل ۶- نمودار تنش-کرنش داربست همگن نوع یک (۲۵۰)، همگن نوع دو (۴۲۰)، گرادیانی نوع یک (D۲۵۰) و گرادیانی نوع دو (D۴۲۰) (رنگی در نسخه الکترونیکی)

خواهد بود [۷]. مقایسه مدول الاستیک به دست آمده در تحقیقات پیشین با داربست‌های ساخته شده در تحقیق حاضر، خواص مکانیکی ضعیف داربست‌ها را نشان می‌دهد. علت این امر می‌تواند تفاوت در مواد سازنده داربست، روش ایجاد گرادیان و یا حتی تفاوت در شرایط بررسی خواص مکانیکی داربست، مثل ابعاد آن باشد.

۴- نتیجه‌گیری

سادگی روش استفاده شده جهت ایجاد گرادیان در تخلخل، در مقایسه با روش‌هایی مانند روش چرخشی و روش سانتریفیوژ، در

ایجاد شده است؛ امکان مقایسه خواص مکانیکی با دیگر تحقیقاً به طور دقیق وجود ندارد. طی تحقیقی که در سال ۲۰۱۱ میلادی روی داربست‌های همگن و گرادیانی ساخته شده طی تحقیقی که در سال ۲۰۱۱ میلادی روی داربست‌های همگن و گرادیانی ساخته شده به روش نمونه‌سازی سریع انجام شده است، مدول الاستیک داربست‌های گرادیانی عددی مایبن بیشترین و کمترین مقدار مدول الاستیک داربست‌های همگن بوده است. علت این امر تفاوت در خواص مکانیکی و درصد تخلخل داربست‌ها است. به طور کلی هرچه درصد تخلخل کل داربست بیشتر باشد، خواص مکانیکی داربست ضعیفتر

در صد تخلخل داربست‌های گرadiانی ساخته شده در این تحقیق جهت استفاده در مهندسی بافت استخوان مناسب بوده است (بالاتر از ۷۰ درصد). در صد تخلخل داربست‌های گرadiانی در مقایسه با نمونه‌های ساخته شده با روش نمونه‌سازی سریع، با وجود اندازه تخلخل‌های کوچک‌تر بالاتر بوده است؛ علت این امر می‌تواند تفاوت در نوع گرadiان ایجاد شده و هندسه داربست‌ها باشد. نتایج آزمون فشار نشان داد که گرadiانی کردن تخلخل‌ها تأثیر چندانی بر خواص مکانیکی داربست‌ها نداشته است و با توجه به مقدار پایین مدول و استحکام فشاری داربست‌های داربست‌ها نسبت به تحقیقات پیشین می‌توان نتیجه گرفت که استفاده از پلی‌کاپرولاتکتون به تهابی در ساخت داربست جهت استفاده در مهندسی بافت استخوان مناسب نیست.

دسترس بودن تجهیزات مورد نیاز و پایین بودن هزینه فرایند ساخت در مقایسه با دیگر روش‌ها بهویژه روش نمونه‌سازی سریع و تفجوشی لیزر انتخابی از مزیت‌های ابداع این روش بوده است. تولید و استفاده از میکروذرات پارافین به عنوان تخلخل‌ساز امکان دستیابی به تخلخل‌های کروی، امکان راه درهم کردن تخلخل‌ها و عدم نیاز به استفاده از حلال‌های سمی و خطرناس پلیکاپرولاتکتون مثل کلروفرم را فراهم آورد. در این تحقیق پیوستگی کامل بین دو لایه داربست گرadiانی، بدون وجود فصل مشترک قابل مشاهده بین آنها، نتیجه شد.

در روش استفاده شده امکان کترل بازه اندازه تخلخل‌ها در ساختار داربست گرadiانی با تغییر اندازه ذرات تخلخل‌ساز در هر لایه وجود دارد؛ اما در روش‌هایی مانند روش سانتریفیوژ و روش چرخشی کترل اندازه تخلخل‌ها به راحتی امکان‌پذیر نخواهد بود.

واژه‌نامه

1. polycaprolactone
2. spinning
3. selective laser sintering
4. electrospinning
5. porogen
6. layer by layer assembly
7. rapid prototyping
8. 3D plotting
9. Sigma Aldrich
10. Merck Millipore
11. Polyvinyl Chloride (PVC)
12. Scanning Electron Microscope (SEM)
13. AIS2100
14. Seron Technology
15. ImageJ
16. liquid displacement
17. Zwick/Roel Z050
18. ASTM D575
19. Phani and Niyogi

مراجع

1. Lanza, R., Langer, R., and Vacanti, J., *Principle of Tissue Engineering*, 3rd ed., Academic Press, p. 1344, 2007.
2. Hong, S., and Kim, G. H., “Fabrication of Size-Controlled Three-dimensional Structures Consisting of Electrohydrodynamically Produced Polycaprolactone Micro/Nanofibers”, *Applied Physics A*, Vol. 103, pp. 1009-1014, 2011.
3. Yilgor, P., Sousa, R. A., Reis, R. L., Hasirci, N., and Hasirci, V., “3D Plotted PCL Scaffolds for Stem Cell Based Bone Tissue Engineering”, *Macromolecular Symposia*, Vol. 269, No. 1, pp. 92-99, 2008.
4. Flemming, R. G., Murphy, C. J., Abrams, G. A., Goodman , S. L., and Nealey, P. F., “Effects of Synthetic Micro- and Nano-structured Surfaces on Cell Behavior”, *Biomaterials*, Vol. 20, pp. 573-588, 1999.
5. Moztarzadeh, F., Rabiei, M., and Nourmohammadi, Zh., *Application of Composites in Biomedical Engineering*, 3rd ed., Amirkabir University Press, 2015.
6. Karageorgiou, V., and Kaplan, D., “Porosity of 3D Biomaterial Scaffolds and Osteogenesis”, *Biomaterials*, Vol. 26, pp. 5474-5491, 2005.
7. Sobral, J. M., Caridade, S. G., Sousa, R. A., Mano, J. F., and Reis, R. L., “Three-dimensional Plotted Scaffolds with Controlled Pore Size Gradients: Effect of Scaffold Geometry on Mechanical Performance and Cell Seeding Efficiency”, *Acta Biomaterailia*, Vol. 7, pp. 1009-1018, 2011.

8. Oh, S. H., Park, I. K., Kim, J. M., and Lee, J. H., "In Vitro and In Vivo Characteristics of PCL Scaffolds with Pore Size Gradient Fabricated by a Centrifugation Method", *Biomaterials*, Vol. 28, pp. 1664-1671, 2007.
9. Harley, B. A., Hastings, A. Z., Yannas, I. V., and Sannino, A., "Fabricating Tubular Scaffolds with a Radial Pore Size Gradient by a Spinning Technique", *Biomaterials*, Vol. 27, pp. 866-874, 2006.
10. Woodfield, T. B. F., Blitterswijk, C. V., Wijn, J. D., Sims, T. J., Hollander, A. P., and Riesle, J., "Polymer Scaffolds Fabricated with Pore-size Gradients as a Model for Studying the Zonal Organization within Tissue-Engineered Cartilage Constructs", *Tissue Engineering*, Vol. 11, pp. 1297-1311, 2005.
11. Salmoria, G. V., Ahrens, C. H., Klauss, P., Paggi, R. A., Oliveira, R. G., and Lago, A. "Rapid Manufacturing of Polyethylene Parts with Controlled Pore Size Gradients using Selective Laser Sintering", *Materials Research*, Vol. 10, pp. 211-21, 2007.
12. Wu, H., Wan, Y., Cao, X., Dalai, S., Wang, S., and Zhang, S., "Fabrication of Chitosan-g-Polycaprolactone Copolymer Scaffolds with Gradient Porous Microstructures", *Materials Letters*, Vol. 62, pp. 2733-2736, 2008.
13. Zhang, Q., Lu, H., Kawazoe, N., and Chen, G., "Preparation of Collagen Porous Scaffolds with a Gradient Pore Size Structure using Ice Particulates", *Materials Letters*, Vol. 107, pp. 280-283, 2013.
14. Zhang, R., and Ma, P. X., "Poly (α -Hydroxy Acids)/Hydroxyapatite Porous Composites for Bone-Tissue Engineering. I. Preparation and Morphology", *Journal of Biomedical Materials Research*, Vol. 44, pp. 446-455, 1999.
15. Guan, J., Fujimoto, K. L., Sacks, M. S., and Wagner, W. R., "Preparation and Characterization of Highly Porous, Biodegradable Polyurethane Scaffolds for Soft Tissue Applications", *Biomaterials*, Vol. 26, pp. 3961-3971, 2005.
16. Ma, P. X., and Choi, J. W., "Biodegradable Polymer Scaffolds with Well-defined Interconnected Spherical Pore Network", *Tissue Engineering*, Vol. 7, pp. 23-33, 2001.
17. Murphy, C. M., Haugh, M. G., and O'Brien, F. J., "The Effect of Mean Pore Size on Cell Attachment, Proliferation and Migration in Collagen-Glycosaminoglycan Scaffolds for Bone Tissue Engineering", *Biomaterials*, Vol. 31, pp. 461-466, 2010.
18. Martins, A. M., Santos, M. I., Azevedo, H. S., Malafaya, P. B., and Reis, R. L., "Natural Origin Scaffolds with In Situ Pore Forming Capability for Bone Tissue Engineering Applications", *Acta Biomaterialia*, Vol. 4, pp. 1637-1645, 2008.
19. Akbari Taemeh, M., Akbari, B., and Nourmohammadi, J., "Fabrication of Polycaprolactone Scaffold with Gradient Porous Microstructure for Bone Tissue Engineering", MSc Thesis, University of Tehran, Tehran, Iran, 2016.
20. Guarino, V., Causa, F., Netti, P. A., Ciapetti, G., Pagani, S., Martini, D., and Ambrosio, L., "The Role of Hydroxyapatite as Solid Signal on Performance of PCL Porous Scaffolds for Bone Tissue Regeneration", *Journal of Biomedical Materials Research Part B: Applied Biomaterials*, Vol. 86, pp. 548-557, 2008.
21. Zong, X., Ran, S., Kim, K. S., Fang, D., Hsiao, B. S., and Chu, B., "Structure and Morphology Changes During In vitro Degradation of Electrospun Poly (Glycolide-co-Lactide) Nanofiber Membrane", *Biomacromolecules*, Vol. 4, pp. 416-423, 2003.
22. Ma, P. X., and Zhang, R. "Synthetic Nano-Scale Fibrous Extracellular Matrix", *Journal of Biomedical Materials Research*, Vol. 46, pp. 60-72, 1999.
23. Ma, P. X., Zhang, R., Xiao, G., and Franceschi, R., "Engineering New Bone Tissue In vitro on Highly Porous Poly (Alpha-Hydroxyl Acids)/Hydroxyapatite Composite Scaffolds", *Journal of Biomedical Materials Research*, Vol. 54, pp. 284-293, 2001.
24. Zhang, R., and Ma, P. X., "Synthetic Nano-fibrillar Extracellular Matrices with Predesigned Macroporous Architectures", *Journal of Biomedical Materials Research*, Vol. 52, pp. 430-438, 2000.
25. Koupaei, N., Karkhaneh, A., and Daliri Joupari, M., "Preparation and Characterization of (PCL-crosslinked-PEG)/Hydroxyapatite as Bone Tissue Engineering Scaffolds", *Journal of Biomedical Materials Research Part A*, Vol. 103, pp. 3919-3926, 2015.
26. Eshraghi, S., and Das, S., "Mechanical and Microstructural Properties of Polycaprolactone Scaffolds with One-Dimensional, Two-Dimensional, and Three-Dimensional Orthogonally Oriented Porous Architectures Produced by Selective Laser Sintering", *Acta Biomaterialia*, Vol. 6, pp. 2467-2476, 2010.
27. Phani, K. K., and Niyogi, S., "Young's Modulus of Porous Brittle Solids", *Journal of Materials Science*, Vol. 22, pp. 257-263, 1987.